

DOI: <http://dx.doi.org/10.21577/1984-6835.20240057>

## **Material Suplementar**

**Ação Antimicrobiana de um Novo Quimiotípo do Óleo Essencial das Folhas de *Piper aduncum***

Antimicrobial Action of a New Chemotype of *Piper aduncum* Essential Oil

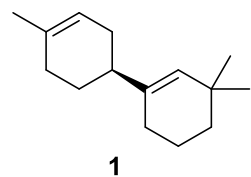
**Dayseane S. B. C. Gomes,<sup>a</sup> (<https://orcid.org/0009-0001-5686-8672>) Tianisa P. Boeira,<sup>b</sup> Amanda V. de Barros,<sup>c</sup> Maria B. M. de Oliveira,<sup>c</sup> Clécio S. Ramos<sup>a,\*</sup> (<https://orcid.org/0000-0002-9177-4524>)**

<sup>a</sup> Universidade Federal Rural de Pernambuco, Departamento de Química, CEP 52171-900, Recife-PE, Brasil

<sup>b</sup> Departamento de Biologia, Universidade Federal Rural de Pernambuco, CEP 52171-900, Recife-PE, Brasil

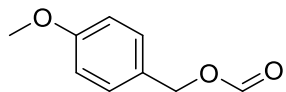
<sup>c</sup> Departamento de bioquímica, Universidade Federal de Pernambuco, CEP 50670-901- Recife-PE, Brasil

[\\*clecio.ufrpe@gmail.com](mailto:*clecio.ufrpe@gmail.com)



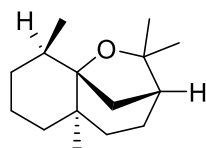
1

**Figura S1.** Estrutura química do  $\alpha$ -macrocarpeno



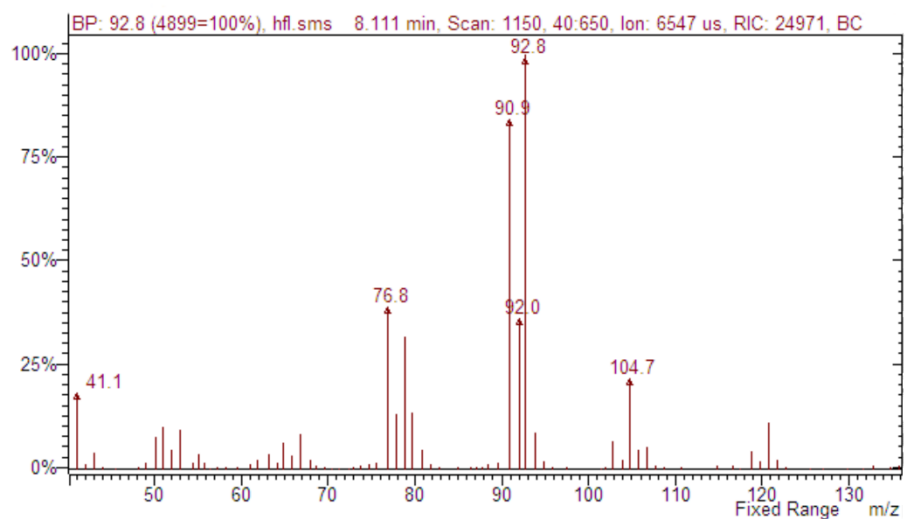
2

**Figura S2.** Estrutura química do formiato de anisila

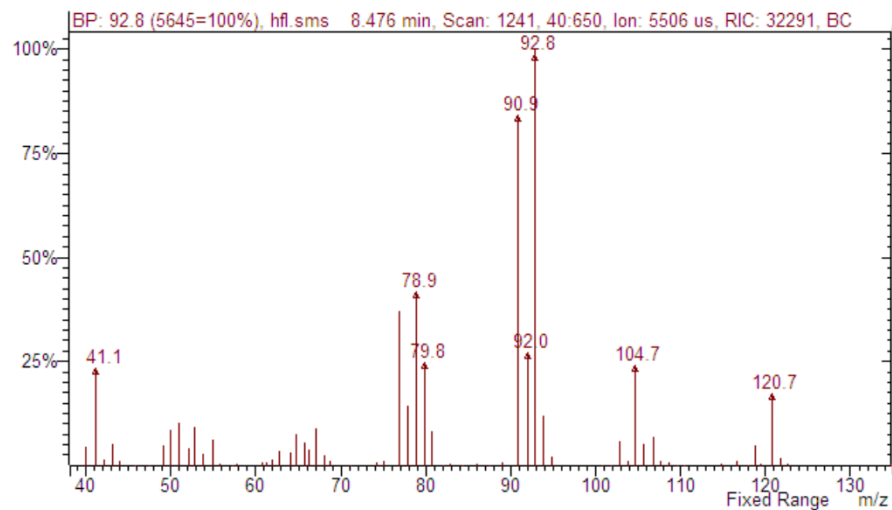


3

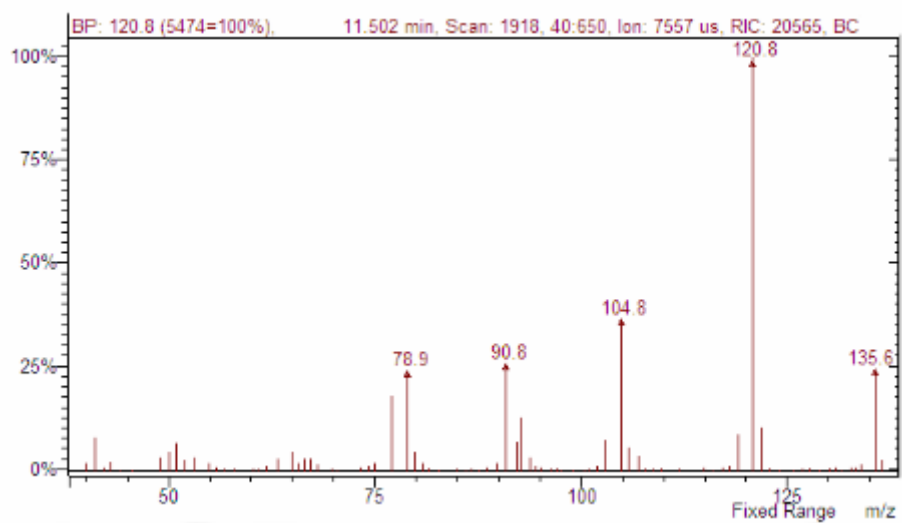
**Figura S3.** Estrutura química do *cis*-dihidroagarofurano



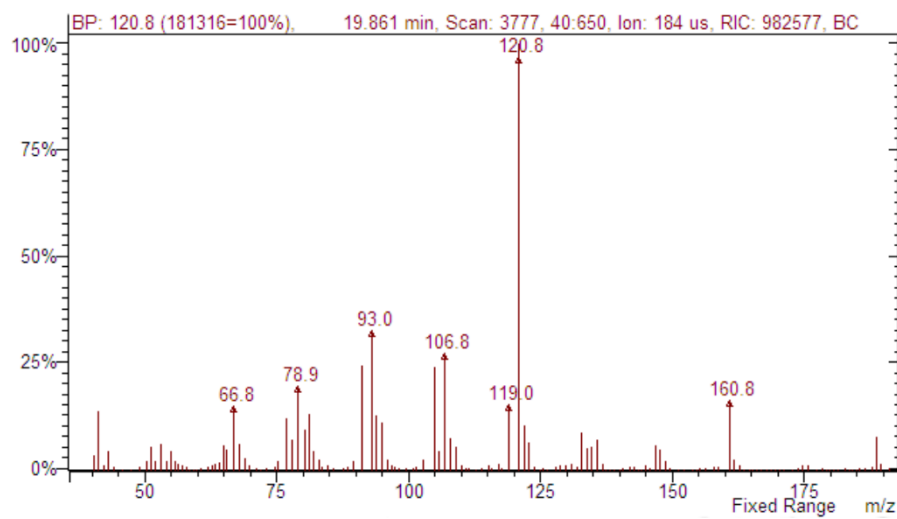
**Figura S4.** Espectro de massas do  $\delta$ -3-Careno



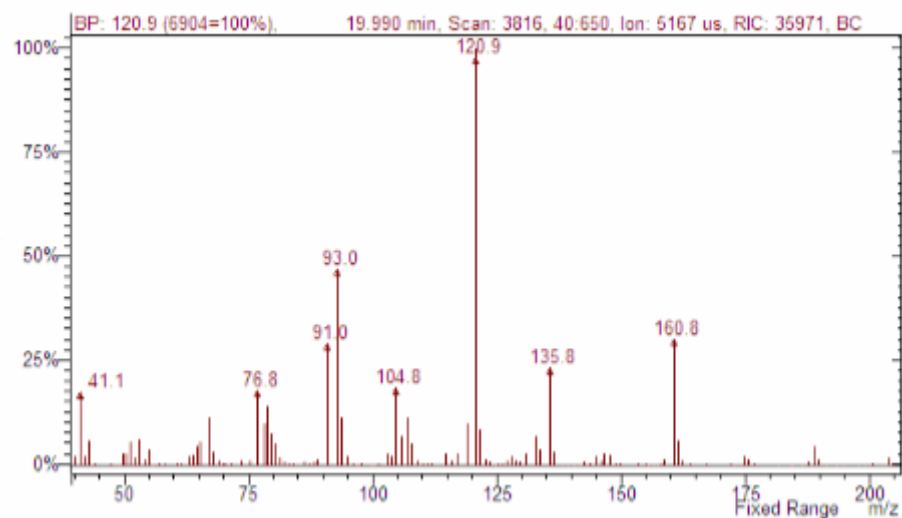
**Figura S5.** Espectro de massas do Z- $\beta$ -Ocimeno



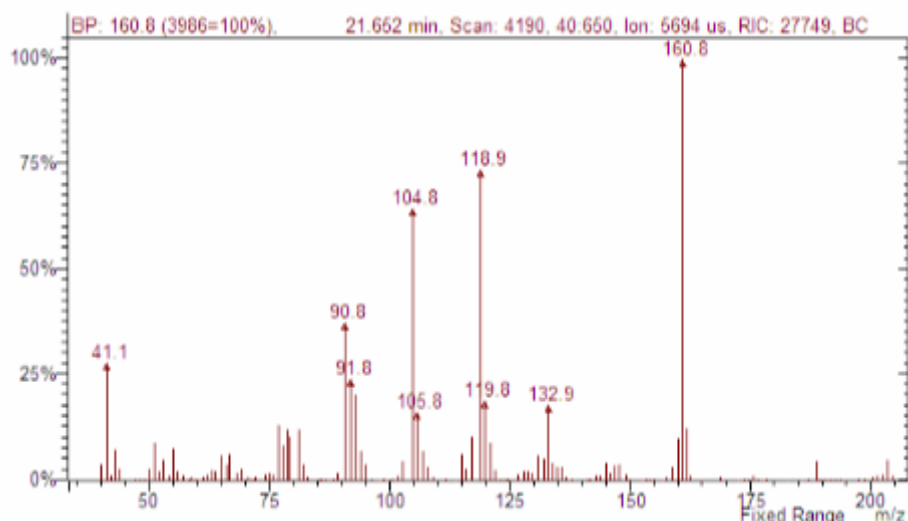
**Figura S6.** Espectro de massas do allo-Ocimeno



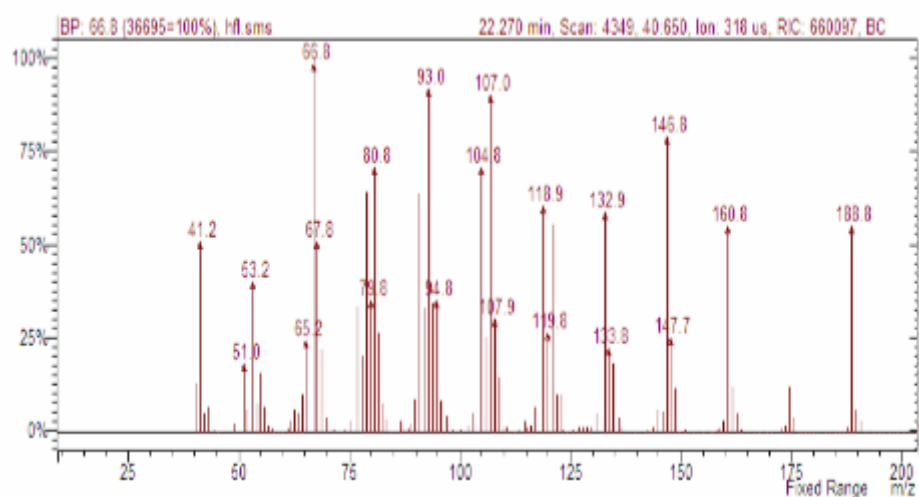
**Figura S7.** Espectro de massas do formiato de anisila



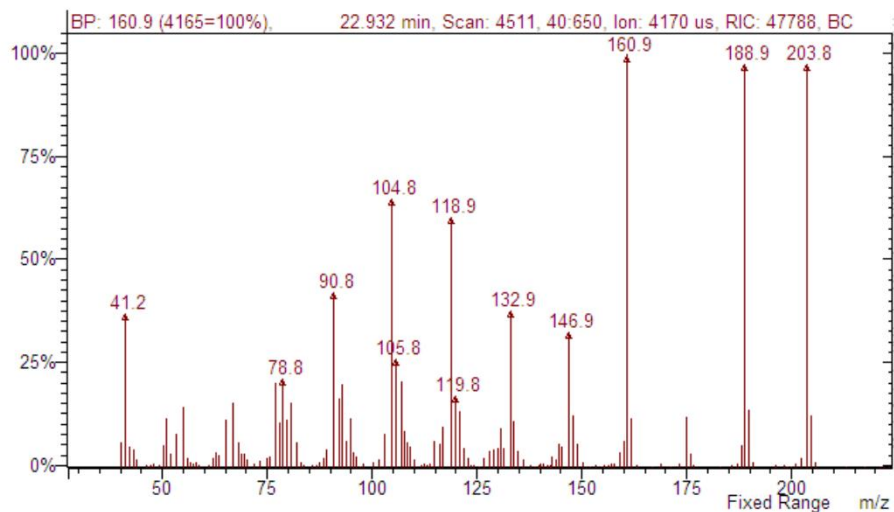
**Figura S8.** Espectro de massas do  $\delta$ -Elemeno



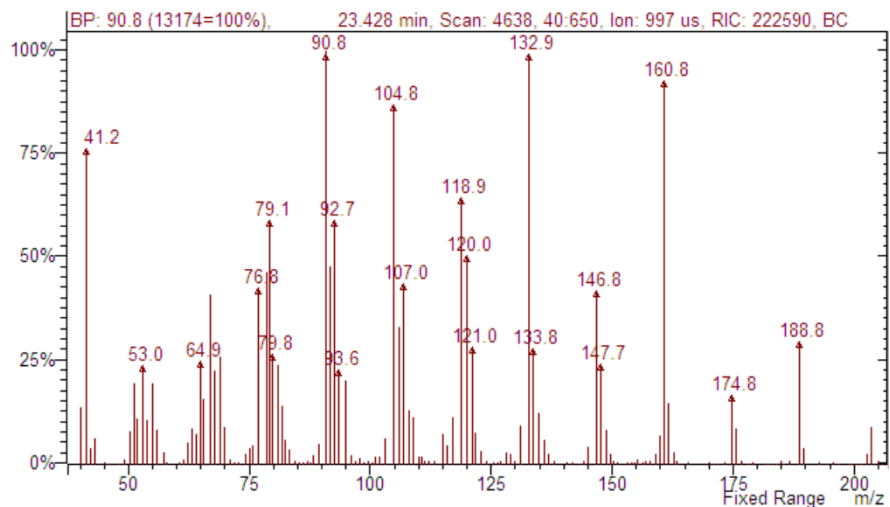
**Figura S9.** Espectro de massas do  $\alpha$ -Cubebeno



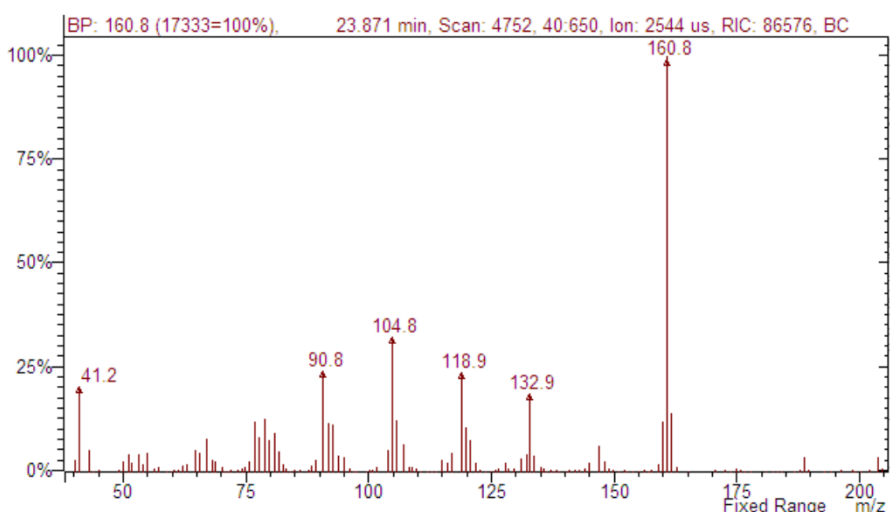
**Figura S10.** Espectro de massas do Z- $\beta$ -Damascenona



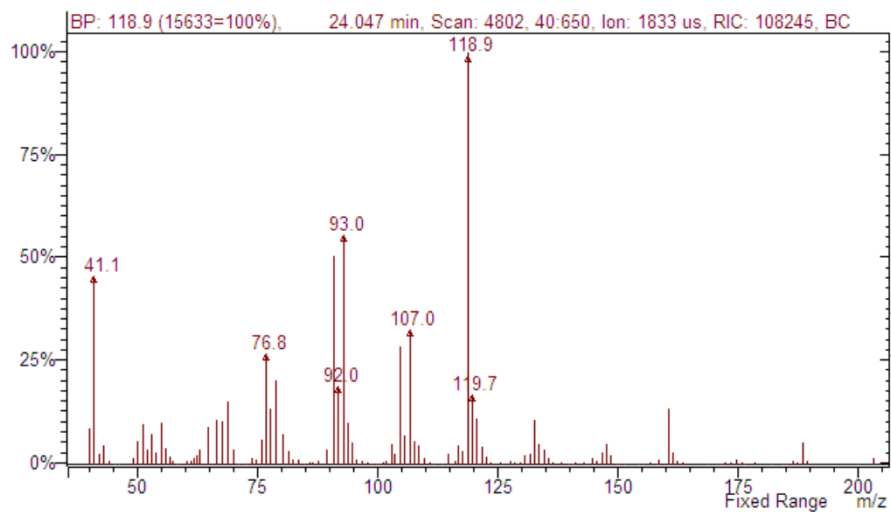
**Figura S11.** Espectro de massas do  $\alpha$ -Copaeno



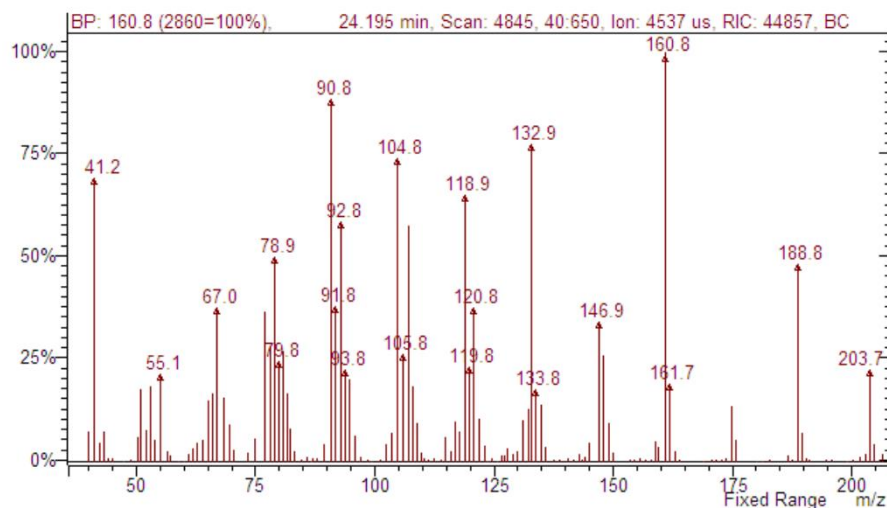
**Figura S12.** Espectro de massas do  $\beta$ -Panasinseno



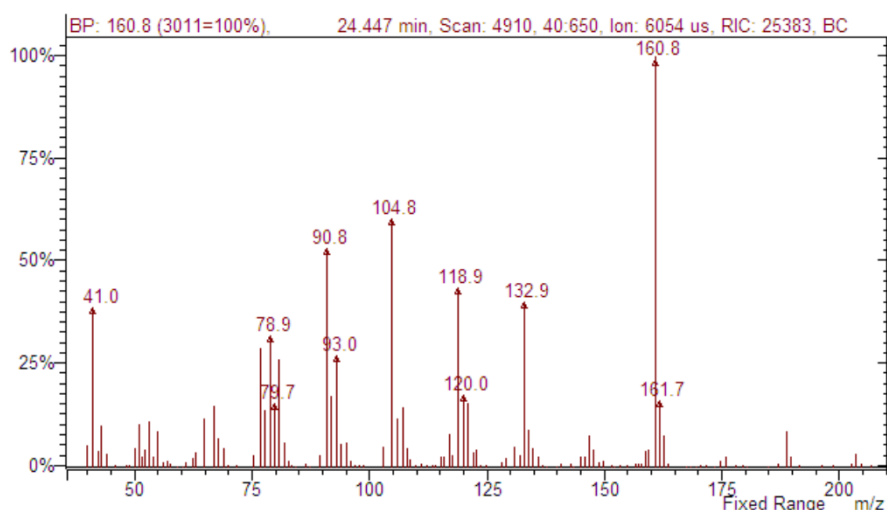
**Figura S13.** Espectro de massas do  $\beta$ -Cubebeno



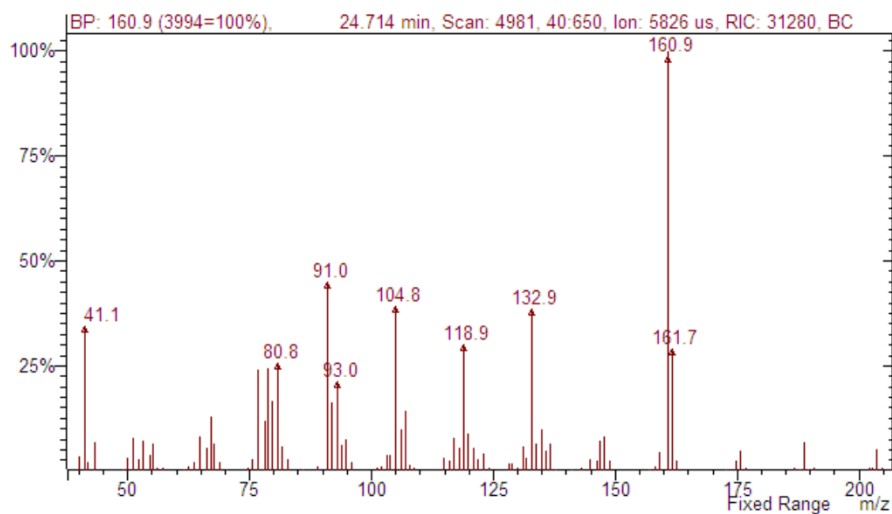
**Figura S14.** Espectro de massas do Sesquitujeno



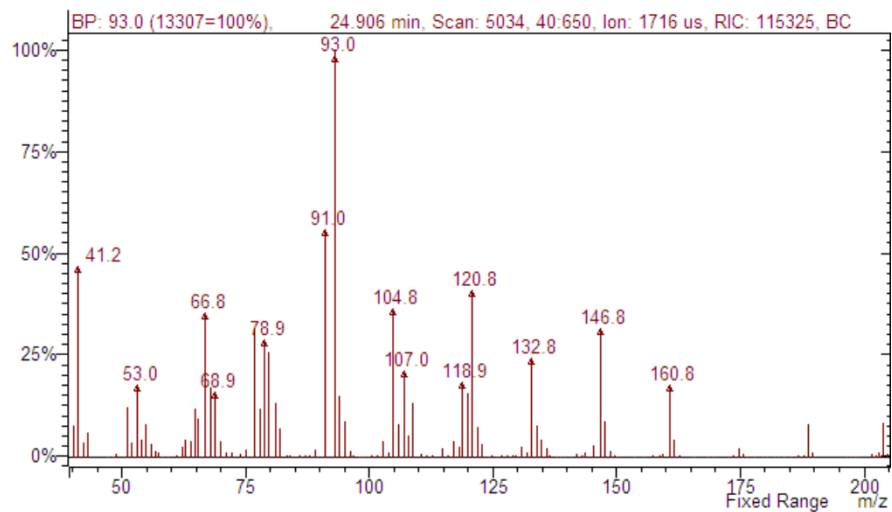
**Figura S15.** Espectro de massas do Longifoleno



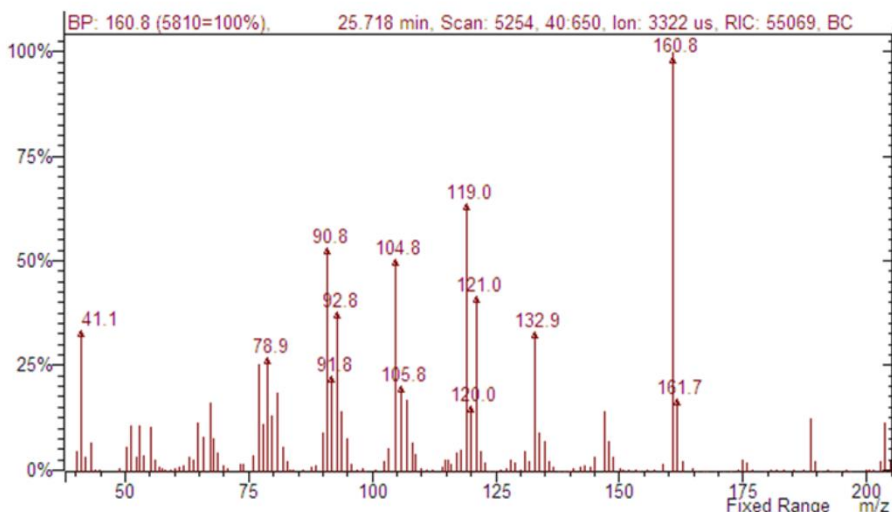
**Figura S16.** Espectro de massas do 2-*epi*- $\beta$ -Funebreno



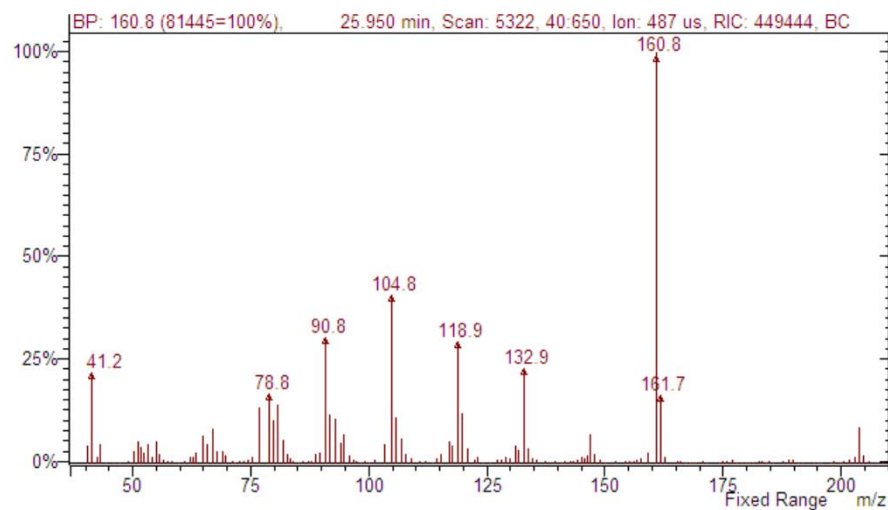
**Figura S17.** Espectro de massas do  $\beta$ -Copaeno



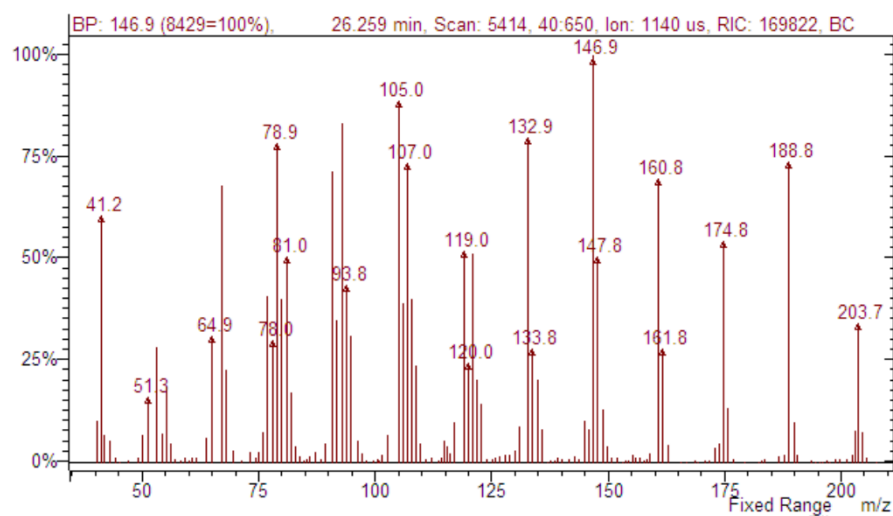
**Figura S18.** Espectro de massas do  $\alpha$ -trans-Bergamoteno



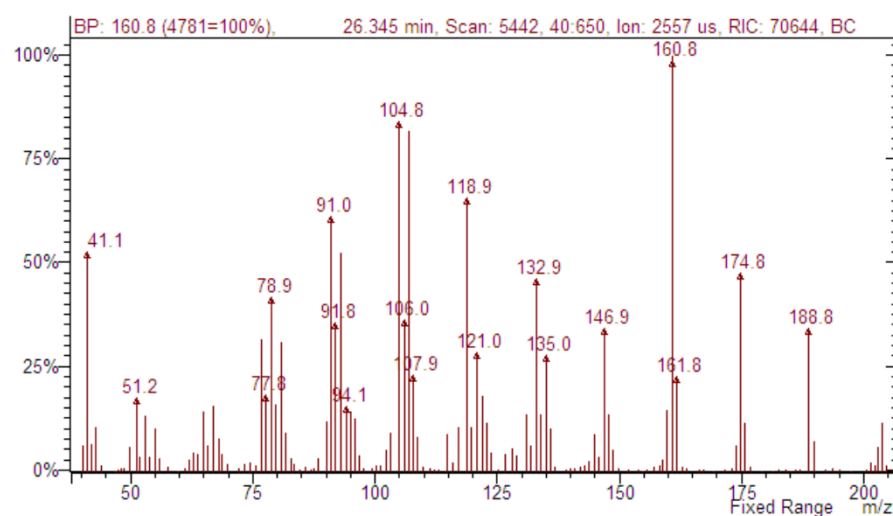
**Figura S19.** Espectro de massas do  $\beta$ -Gurjuneno



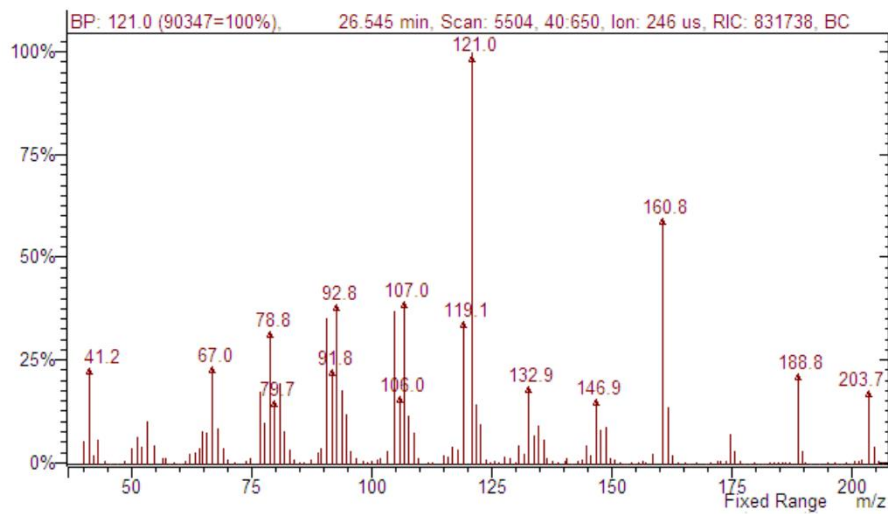
**Figura S20.** Espectro de massas do *trans*-Muurola-3,5-dieno



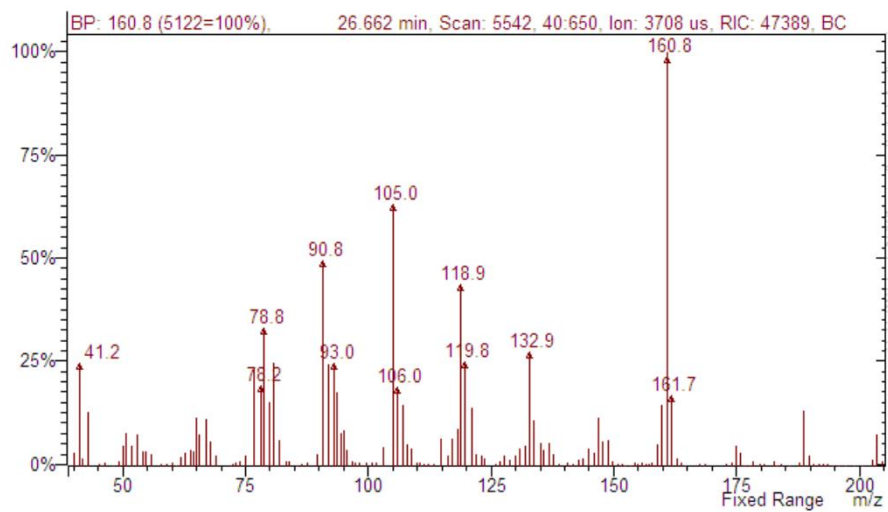
**Figura S21.** Espectro de massas do  $\alpha$  -Patchouleno



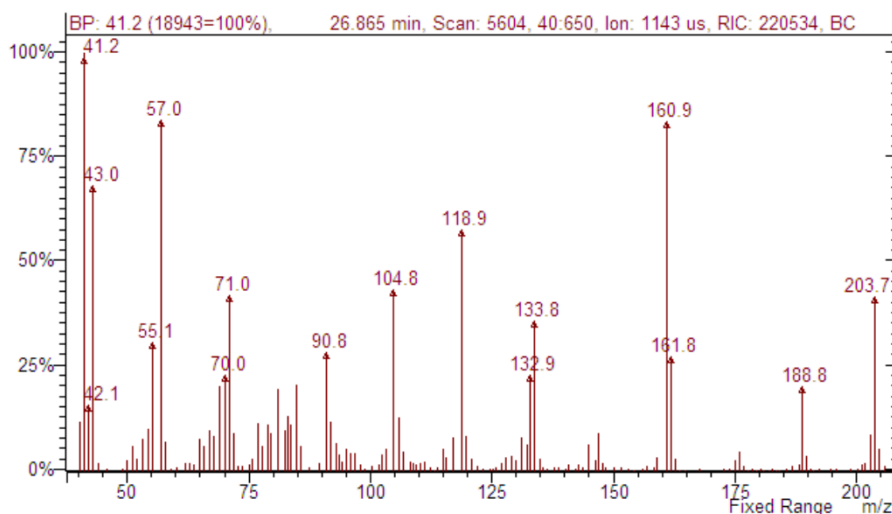
**Figura S22.** Espectro de massas do *cis*-Cadina-1(6),4-dieno



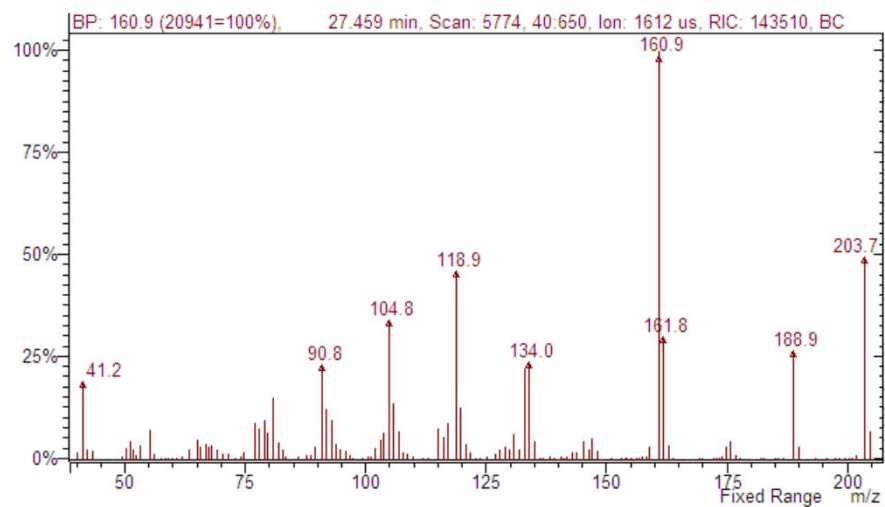
**Figura S23.** Espectro de massas do  $\alpha$ -Macrocarpeno



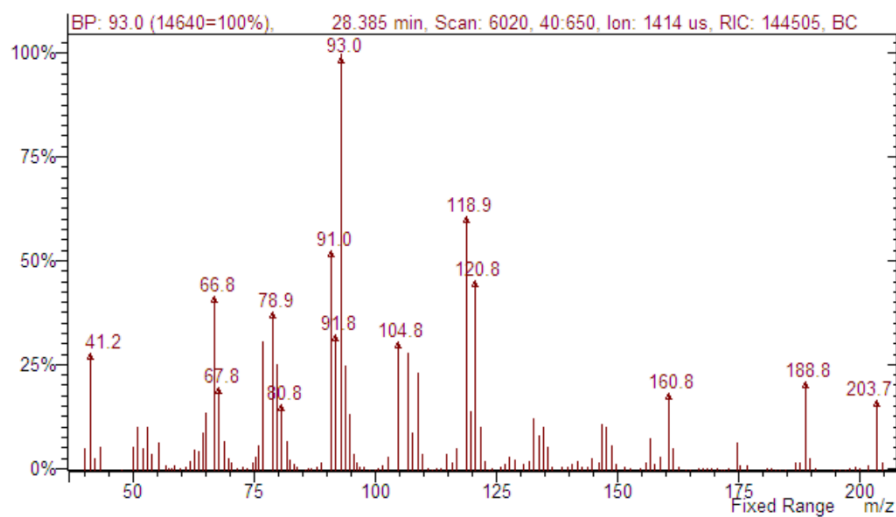
**Figura S24.** Espectro de massas do  $\gamma$ -Muuroleno



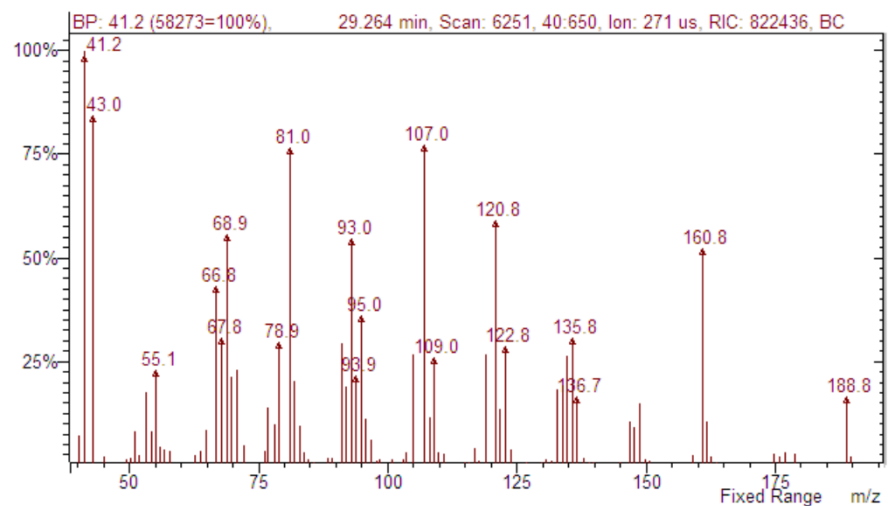
**Figura S25.** Espectro de massas do Widdra-2,4(14)-dieno



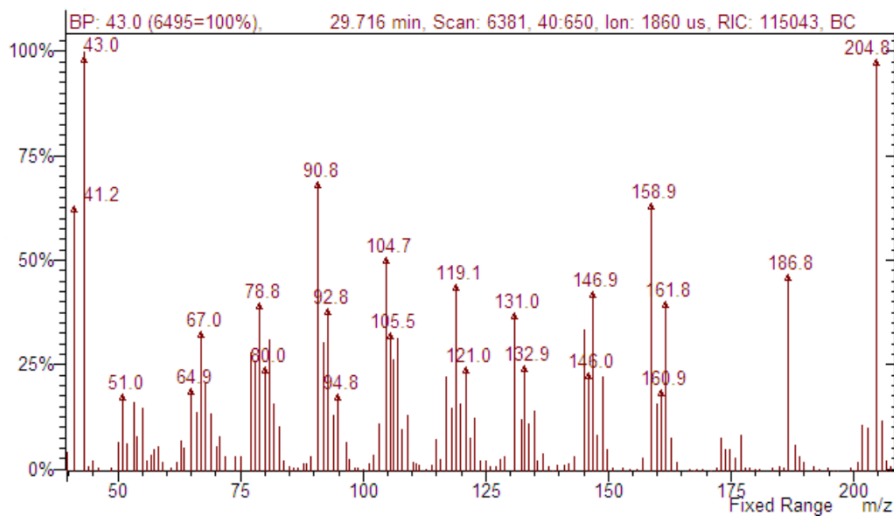
**Figura S26.** Espectro de massas do  $\delta$ -Selineno



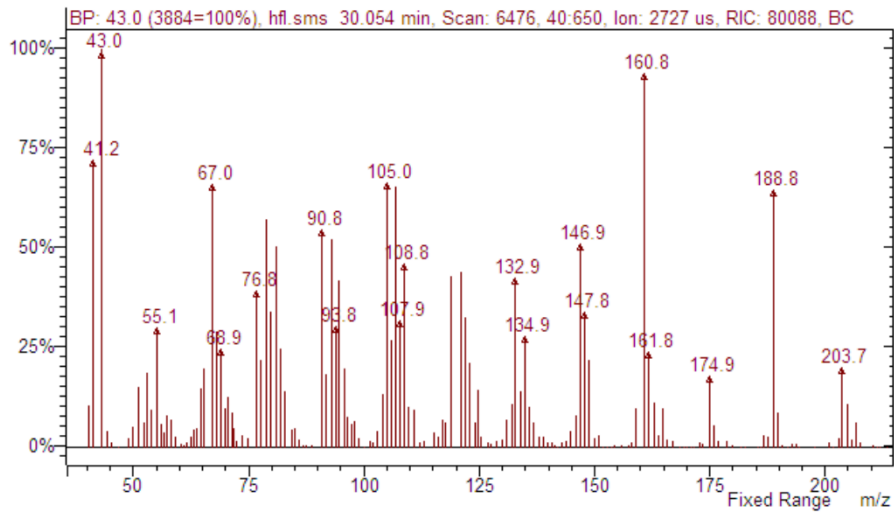
**Figura S27.** Espectro de massas do  $\beta$ -Macrocarpeno



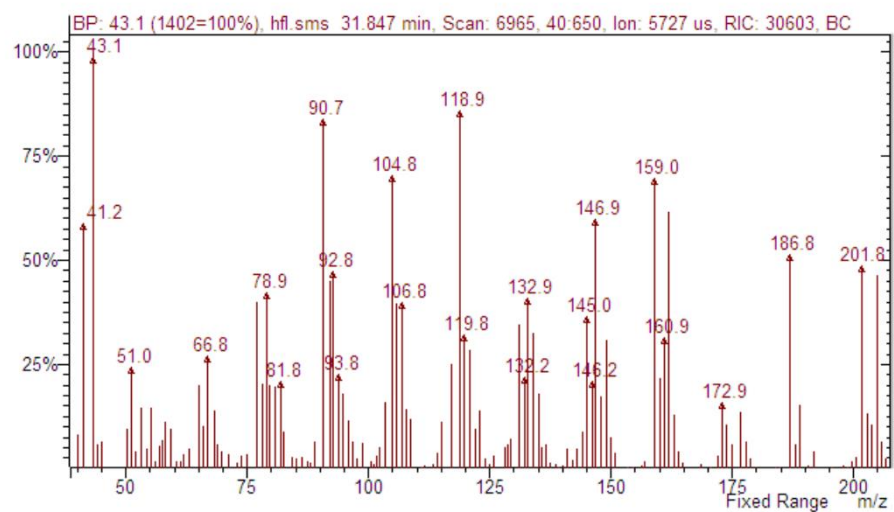
**Figura S28.** Espectro de massas do *cis*-Dihidroagarofurano



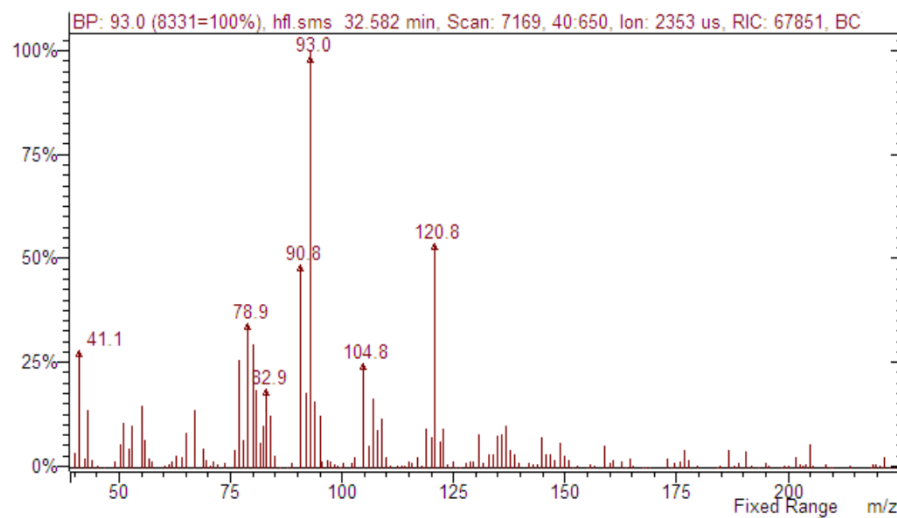
**Figura S29.** Espectro de massas do *cis*-Muurol-5-en-4- $\alpha$ -ol



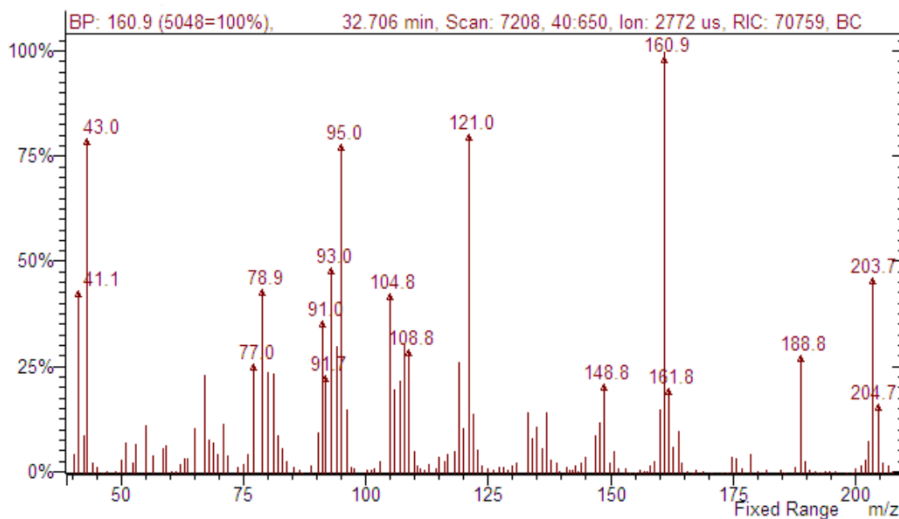
**Figura S30.** Espectro de massas do Maaliol



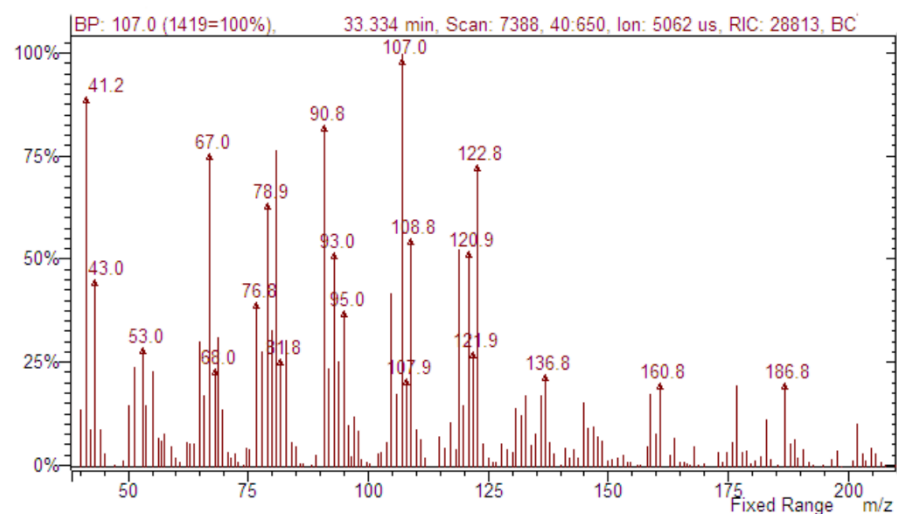
**Figura S31.** Espectro de massas do Viridiflorol



**Figura S32.** Espectro de massas do 2,(7Z)-Bisaboladien-4-ol



**Figura S33.** Espectro de massas do *epi*- $\alpha$ -Cadinol



**Figura S34.** Espectro de massas do Selina-3,11-dien-6- $\alpha$ -ol